

# Характеристическое рентгеновское излучение меди



Физика

Современная физика

Природа рентгеновского излучение и его применение



Уровень сложности

твёрдый



Размер группы

2



Время подготовки

45+ Минут



Время выполнения

45+ Минут



# Общая информация

## Описание



Экспериментальная установка

Большинство применений рентгеновских лучей основано на их способности проходить сквозь вещество. Поскольку эта способность зависит от плотности вещества, становится возможным получение изображений внутренних частей объектов и даже людей. Это находит широкое применение в таких областях, как медицина или безопасность.

## Дополнительная информация (1/2)

### Предварительные знания



Предварительные знания, необходимые для этого эксперимента, приведены в разделе "Теория".

### Принцип



Рентгеновская трубка с медным анодом генерирует рентгеновское излучение, которое выбирается в зависимости от угла Брэгга с помощью монокристалла. Счетчик-трубка Гейгера-Мюллера измеряет интенсивность излучения. Углы скольжения характеристических рентгеновских линий используются затем для определения энергии.

## Дополнительная информация (2/2)



Цель этого эксперимента - исследовать характеристическое рентгеновское излучение меди.

### Цель



- Проанализируйте интенсивность рентгеновского излучения меди в зависимости от угла Брэгга с помощью монокристалла LiF.
- Проанализируйте интенсивность рентгеновского излучения меди в зависимости от угла Брэгга с помощью монокристалла KBr.
- Определите значения энергии характеристических рентгеновских лучей меди и сравните их со значениями, которые были определены на основе соответствующей диаграммы энергетических уровней.

### Задачи

## Теория (1/3)

Когда электроны с высоким уровнем кинетической энергии налетают на металлический анод рентгеновской трубы, образуется рентгеновское излучение с непрерывным распределением энергии. На спектр тормозного излучения накладываются дополнительные дискретные линии. Если атом материала анода ионизируется на K-оболочке, после электронного удара электрон с более высокой оболочки может занять свободное место, испуская квант рентгеновского излучения. Энергия этого рентгеновского кванта соответствует разности энергий двух оболочек, участвующих в этом процессе. Поскольку эта разность энергий зависит от конкретного атома, результирующее излучение также называется характеристическим рентгеновским излучением. На рисунке 1 показана диаграмма энергетических уровней для меди. Характеристическое рентгеновское излучение, возникающее при переходе от L-оболочки к K-оболочке, называется  $K_{\alpha}$  излучением, в то время как излучение, возникающее при переходе от M-оболочки к K-оболочке  $K_{\beta}$  излучением (переходы  $M_1 \rightarrow K$  и  $L_1 \rightarrow K$  запрещены в соответствии с квантово-механическими правилами отбора).

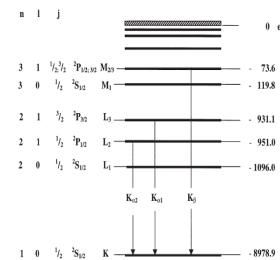


Рис.1: Диаграмма уровней энергии меди ( $Z = 29$ )

## Теория (2/3)

Характеристические рентгеновские линии меди имеют следующие энергетические уровни (рис.1):

$$E_{K_{\alpha}}^* = E_K - \frac{1}{2}(E_{L2} + E_{L3}) = 8,038 \text{ кэВ} \quad (1)$$

$$E_{K_{\beta}} = E_K - E_{M2,3} = 8,905 \text{ кэВ}$$

$E_{K_{\alpha}}$  - среднее значение энергии  $K_{\alpha 1}$  и  $K_{\alpha 2}$  линий. Анализ полихроматических рентгеновских лучей становится возможным благодаря использованию монокристалла. Когда рентгеновские лучи с длиной волны  $\lambda$  падают на плоскости решетки монокристалла под углом скольжения  $\theta$ , лучи, которые отражаются от плоскостей решетки, конструктивно интерферируют друг с другом при условии, что их разность хода  $\Delta$  соответствует целому кратному длины волны. В соответствии с рис. 2, закон Брэгга применим к конструктивной интерференции:

$$2d \sin(\theta) = n\lambda \quad (2) \quad (\text{d: межплоскостное расстояние; } n = 1, 2, 3, \dots)$$

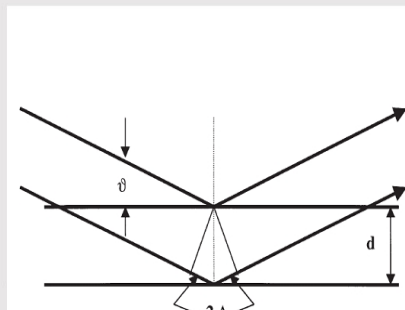


Рис. 2: Брэгговское рассеяние на паре плоскостей решетки

## Теория (3/3)

Если известно межплоскостное расстояние  $d$ , то с помощью угла скольжения  $\theta$  можно определить длину волны  $\lambda$ . Энергия излучения возникает в результате:

$$E = h \cdot f = \frac{hc}{\lambda} \quad (3)$$

Объединяя (2) и (3), получаем:

$$E = \frac{n \cdot h \cdot c}{2d \cdot \sin(\theta)} \quad (4)$$

**Примечание:**

Данные диаграммы уровней энергии были взяты из «Справочника по химии и физике», CRC Press Inc., Флорида.

Постоянная Планка  $h = 6,6256 \cdot 10^{-34}$  Джс

Скорость света  $c = 2,9979 \cdot 10^8 \frac{\text{м}}{\text{с}}$

Межплоскостное расстояние LiF (200)  $d = 2,014 \cdot 10^{-10}$  м

Межплоскостное расстояние KBr (200)  $d = 3.290 \cdot 10^{-10}$  м

Эквивалент 1 эВ =  $1,6021 \cdot 10^{-19}$  Дж

## Оборудование

Позиция	Материал	Пункт №.	Количество
1	XR 4.0 X-ray Базовая рентгеновская установка, 35 кВ	09057-99	1
2	XR 4.0 X-ray Гониометр для рентгеновской установки, 35 кВ	09057-10	1
3	XR4 Съёмная рентгеновская трубка Plug-in Cu tube	09057-51	1
4	XR 4.0 X-ray базовый набор	09117-88	1



# Подготовка и выполнение работы

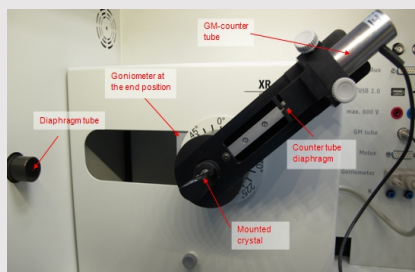
## Подготовка

Подключите гониометр и счетчик Гейгера-Мюллера к соответствующим гнездам в экспериментальной камере (см. красную маркировку на рис. 3). Блок гониометра с кристаллом анализатора должен располагаться в крайнем положении с правой стороны. Закрепите трубку счетчика Гейгера-Мюллера с держателем на заднем упоре направляющих. Не забудьте установить перед счетчиком диафрагму (см. рис. 4). Вставьте диафрагменную трубку диаметром 2 мм в выходное отверстие блока подключения трубы.

**Для калибровки:** Убедитесь, что в параметры гониометра введен правильный кристалл. Затем выберите "Меню", "Гониометр", "Автокалибровка". Теперь прибор определит оптимальные положения кристалла и гониометра относительно друг друга, а затем и положения пиков.



←Рис. 3:  
Разъемы в  
эксперименталь-  
ной камере



↓Рис. 4:  
Установка  
гониометра

## Выполнение работы (1/3)

- Подключите рентгеновскую установку через USB-кабель к USB-порту компьютера (нужный порт рентгеновской установки отмечен на рис. 5).
- Запустите программу measure. На экране появится виртуальная рентгеновская установка.
- Вы можете управлять рентгеновской установкой, нажимая на различные функции на виртуальной рентгеновской установке и под ней. Кроме того, Вы можете изменить параметры на реальной рентгеновской установке. Программа автоматически примет настройки.



Рис. 5: Подключение компьютера

## Выполнение работы (2/3)



Рис. 6:  
Часть  
интерфейса  
ПО

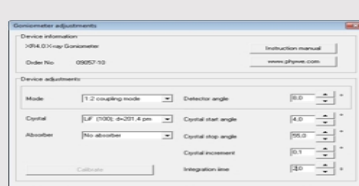


Рис. 7: Настройки  
гониометра (криSTALL LiF)

- Нажмите на экспериментальную камеру (см. красную маркировку на рис. 6), чтобы изменить параметры эксперимента. Выберите параметры, как показано на рис. 7, для кристалла LiF. Если Вы используете кристалл KBr, выберите начальный угол 3° и конечный угол 75°.
- Если Вы нажмете на рентгеновскую трубку (см. красную маркировку на рис. 6), можно изменить напряжение и ток рентгеновской трубки. Выберите параметры, как показано на рис. 8.

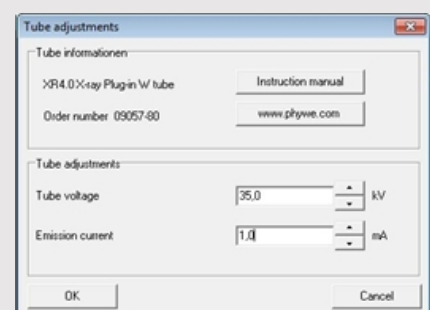
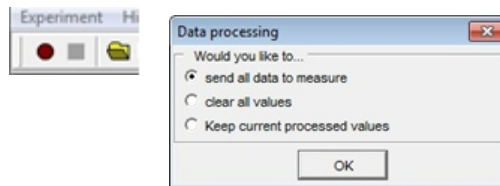


Рис. 8: Настройки  
напряжения и силы тока

## Выполнение работы (3/3)

- Начните измерение, нажав на красный круг:
- После измерения появится следующее окно:



### Обзор настроек гониометра и рентгеновской установки:

- Режим сопряжения 1:2
- Время выхода 2 с; ширина углового шага  $0,1^\circ$
- Диапазон сканирования  $4^\circ$ - $55^\circ$  (моноокристалл LiF) и  $3^\circ$ - $75^\circ$  (моноокристалл KBr)
- Анодное напряжение  $U_A = 35$  кВ; анодный ток  $I_A = 1$  мА



## Оценка

## Задание 1

**Проанализируйте интенсивность рентгеновского излучения меди с помощью монокристалла LiF в зависимости от угла Брэгга.**

На рис. 9 показан рентгеновский спектр меди, проанализированный с помощью монокристалла LiF. Четкие линии накладываются на непрерывный тормозной спектр. Углы скольжения этих линий остаются неизменными при изменении анодного напряжения. Это указывает на то, что эти линии являются характеристическими рентгеновскими линиями. Две пары линий можно отнести к интерференции первого и второго порядка ( $n = 1$  и  $n = 2$ ). В таблице 1 приведены углы скольжения  $\theta$ , которые были определены с помощью рис. 9, а также значения энергии для  $K_{\alpha}$  и  $K_{\beta}$  линий меди, которые были рассчитаны с помощью уравнения (4).

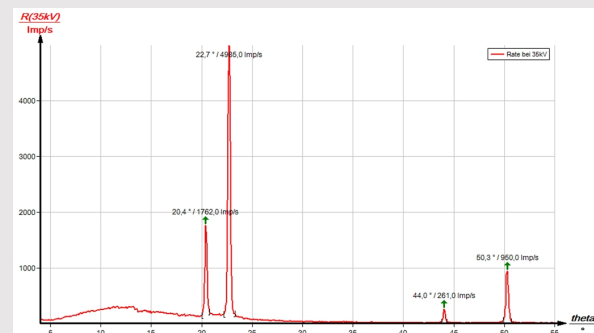


Рис. 9: Интенсивность рентгеновского излучения меди в зависимости от угла скольжения  $\theta$ ; кристалл анализатора: LiF

## Задание 2

**Проанализируйте интенсивность рентгеновского излучения меди с помощью монокристалла KBr в зависимости от угла Брэгга**

Если монокристалл LiF заменить на монокристалл KBr (рис. 10), то из-за большего межплоскостного расстояния кристалла может наблюдаться интерференция вплоть до четвертого порядка.

В спектре тормозного излучения на рис. 10 виден четкий скачок интенсивности при  $\theta = 8.0^\circ$ . Это соответствует значению поглощения K-края брома ( $E_K = 13,474$  кэВ) при  $n = 1$ , что можно ожидать теоретически. В этой области тормозного спектра невозможно наблюдать поглощение K-края калия, лития и фтора, поскольку интенсивность слишком мала

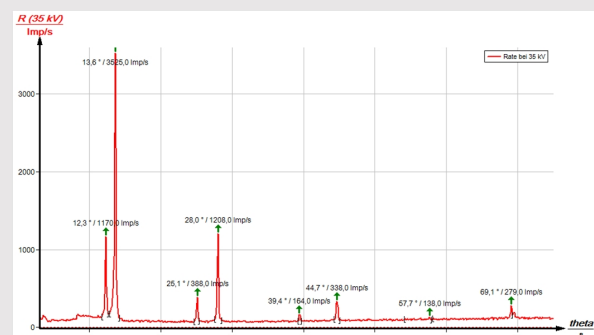


Рис. 10: Интенсивность рентгеновского излучения меди в зависимости от угла скольжения  $\theta$ ; кристалл анализатора: KBr

## Задание 3

**Определите значения энергии характеристических рентгеновских лучей меди и сравните их со значениями, которые были определены на основе соответствующей диаграммы энергетических уровней.**

В таблице 1 показаны углы скольжения  $\theta$ , которые были определены с помощью рис. 9 и 10, а также значения энергии для характеристических рентгеновских линий меди, которые были рассчитаны с помощью уравнения (4).

Исходя из значений энергии характеристических линий задач 1 и 2, получаются следующие средние значения:  $E_{K_\alpha} = 8,010$  кэВ и  $E_{K_\beta} = 8,862$  кэВ. Сравнение с соответствующими значениями из (1) показывает хорошее соответствие.

Оценка двух спектров может быть изменена следующим образом: Используйте значения энергии характеристических линий, которые были определены для одного из спектров, для определения межплоскостного расстояния кристалла анализатора, который использовался для другого спектра.

**Таблица 1**

кристалл LiF	$\theta, {}^\circ$	Линия	E, кэВ
$n = 1$	22.7	$K_\alpha$	7.974
	20.4	$K_\beta$	8.830
$n = 2$	50.3	$K_\alpha$	8.005
	44.0	$K_\beta$	8.857

## Таблица 1 (часть 2)

кристалл KBr	$\theta, {}^\circ$	Линия	E, кэВ
$n = 1$	13.6	$K_\alpha$	8.018
	12.3	$K_\beta$	8.831
$n = 2$	28.0	$K_\alpha$	8.015
	25.1	$K_\beta$	8.870
$n = 3$	44.7	$K_\alpha$	8.041
	39.4	$K_\beta$	8.902
$n = 4$	69.1	$K_\alpha$	8.069
	57.7	$K_\beta$	8.919

## Примечание

### Программное обеспечение measure

С помощью программного обеспечения measure пики в спектре могут быть определены довольно легко:

- Нажмите кнопку "Маркировка" и выберите область для определения пика.
- Нажмите на кнопку "Анализ пика".
- Появится окно "Анализ пиков" (см. рис. 11). Затем нажмите "Рассчитать".
- Если вычислены не все желаемые пики (или их слишком много), скорректируйте допустимую погрешность соответствующим образом.



Рис. 11: Автоматический анализ пиков с помощью measure.